# STUDI EKSPERIMENTAL PERFORMANCE ORIFICE PLATE PADA BILANGAN REYNOLDS RENDAH

# Mahmuddin<sup>(1)</sup>, Muhammad Syahrir <sup>(1)</sup> Nurisma Maharani<sup>(2)</sup>,

<sup>1)</sup>Dosen Teknik Mesin, Fakultas Teknik, Universitas Muslim Indonesia <sup>2)</sup>Mahasiswa Teknik Mesin, Fakultas Teknik, Universitas Muslim Indonesia

#### **ABSTRAK**

Pengukuran laju aliran volumetrik fluida dalam sebuah pipa sangat dibutuhkan pada suatu industri proses, khususnya industri yang memanfaatkan pipa sebagai media penyaluran fluida. Flow meter suatu alat yang dapat digunakan untuk mengukur laju aliran volumenetrik fluida di dalam pipa berdasarkan prinsip beda tekanan (differential pressure) pada bagian upstream dan downstream. Investigasi performa dari pelat orifice dilakukan secara eksperimental pada tebal pelat orifice (s/d) 1.66 pada rasio diameter (β)=0.5. Kasus pada penelitian ini menggunakan bilangan Reynolds (Re) 3300-16500, untuk mengetahui keterkaitan dengan distribusi tekanan, discharge coefficient (Cd) dan permanent pressure loss sebagai parameter utama dalam penelitian ini. Persentase permanent pressure loss dengan referensi centerline pressure pada tebal orifice (s/d) = 1.66 menunjukkan hasil 64.33 % bahwa semakin tinggi Re maka semakin meningkat nilai pressure drop dari aliran fluida. Nilai rata-rata discharge coefficient dengan referensi centerline pressure 0.760 dan referensi D:0.5D adalah 0.797.

KATA KUNCI: Rasio tebal pelat, bilangan Reynolds, discharge coefficient dan permanent pressure loss.

## 1. PENDAHULUAN

Pengukuran laju aliran fluida dalam sebuah pipa sangat dibutuhkan pada suatu industri proses, khususnya industri yang memanfaatkan pipa sebagai media penyaluran fluida. Flow meter digunakan untuk mengukur variabel proses aliran fluida di dalam pipa. Pengukuran variabel proses dilakukan untuk mengendalikannya sesuai setpoint agar mencapai optimasi proses.

Salah satu konfigurasi yang sering digunakan adalah *orifice meter*. *Orifice meter* menggunakan elemen tahanan aliran berupa plat *orifice*. *Orifice plate meter* adalah suatu alat yang digunakan untuk mengukur laju aliran volume di dalam saluran pipa berdasarkan prinsip beda tekanan. Ukuran plat *orifice* ini sudah distandarisasikan baik dalam konfigurasi lubang maupun cara pemasangannya, Andrew dan William (1979).

Pemasangan plat orifice dalam suatu sambungan pipa menyebabkan adanya perbedaan tekanan (differential pressure) pada bagian upstream dan downstream . pada kedua sisi diberikan pressure taps untuk mengukur tekanan akibat penyempitan aliran. Perbedaan tekanan yang disebabkan oleh penyempitan digunakan untuk mengukur laju aliran dengan menggunakan teorema Bernoulli, M A dkk (2016). Menurut Chisholm (1985) tebal plat orifice dibedakan menjadi thin-plate orifices  $(\frac{s}{d} < 0.5)$  dan thick plates orifice  $(\frac{s}{d} > 0.5)$ . Pemilihan geometri sangat berpengaruh terhadap laju aliran dan tekanan suatu fluida serta permanent pressure loss, sehingga perlu adeanya komparasi macam-macam geometri sperti: bentuk profil lubang, tebal dan rasio diameter restriksi pelat orifice. Perubahan geometri pelat orifice juga mempengaruhi nilai discharge coefficient (C<sub>d</sub>).

Dalam hal ini maka ada beberapa permasalahan yang akan dikaji, yaitu:

- a. Bagaimana keterkaitan *discharge coefficient*  $(C_d)$  *orifice* terhadap bilangan *Reynolds* pada tebal pelat *orifice* (s/d)= 1.66 dengan rasio restriksi  $(\beta)$  = 0.5.
- b. Bagaimana keterkaitan permanen pressure loss terhadap bilangan Reynolds pada tebal pelat orifice (s/d)= 1.66 dengan rasio restriksi ( $\beta$ ) = 0.5

Beberapa batasan ditetapkan dalam penelitian ini meliputi:

- a. Kondisi aliran *steady state*.
- b. Kondisi aliran fluida incompressible flow
- c. Kondisi aliran pada sisi *inlet* diasumsikan *uniform*

# 2. TINJAUAN PUSTAKA

Singh dkk (2010) melakukan prediksi aliran untuk *orifice meter* konsentris yang memiliki diameter pipa 40 mm NB (*Nominal Bore*) dan empat rasio diameter (0,40, 0,50, 0,60 dan 0,70). *Orifice meter* yang disimulasikan memiliki sudut bevel 30° dan ketebalan tepi 1,0 mm. Ketebalan pelat juga bervariasi dari 3,50 hingga 9,00 mm, lebih tinggi dari ketebalan yang ditentukan (3,20 mm) dalam ISO-51673 menunjukkan hasil bahwa zona resirkulasi *downstream* berubah seiring perubahan ketebalan plat *orifice*. Plat *orifice* tebal menghasilkan nilai *coefisien of discharge* yang lebih rendah sedangkan plat *orifice* tipis menunjukkan hasil pengukuran nilai *coefisien of discharge* yang lebih tinggi.

Pengujian yang dilakukan oleh (Septiadi, 2008) menganalisis penurunan maximum pressure drop yang terjadi serta irrecoverable pressure drop pada orifice flow meter dengan rasio diameter (β) 0.7; 0.6; 0.5 denga tebal pelat orifice 10 mm dan 20 mm menunjukkan bahwa semakin kecil rasio diameter (β) maka nilai max pressure drop dan irrecoverable pressure drop semakin tinggi. Drop tekanan yang terjadi pada bagian plat orifice dengan tebal 20 mm lebih kecil jika dibandingkan dengan pengukuran pada orifice plate 10 mm.

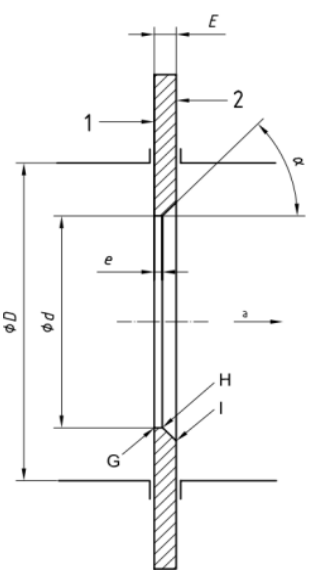
Pengujian yang dilakukan oleh Leopard (2017) yang melakukan Simulasi numerik dengan

model 3D dari square edge orifice flow meter dan quadrant edge orifice flow meter dengan rasio diameter ( $\beta$ ) 0.5 dan 0.7 pada masing-masing bentuk geometri. Kasus pada penelitian ini menggunakan bilangan Reynolds pada  $5\times10^3$  dan  $5\times10^4$ . Kondisi aliran steady flow dan model viscous menggunakan standard k-epsilon. Simulasi ini menunjukkan hasil bahwa saat melewati leher orifice, dalam hal ini square edge orifice, aliran langsung terseparasi. Separasi menyebabkan terbentuknya secondary flow berupa vortex pada downstream orifice. Vortex yang terjadi seakanakan membuat aliran yang mengalir melewati penampang lebih kecil, yang disebut dengan vena contracta.

Roul (2012) melakukan penelitian mengenai karakteristik aliran satu fase dan dua fase (airudara) melalui thick dan thin orifice pada horizontal pipes berdiameter dalam 40 mm dan 60 mm dengan perbedaan geometri orifice, variasi area ratio (σ) 0,54 dan 0,73 serta variasi ketebalan (s/d) 0,025 dan 0,59 menunjukkan bahwa hasi pressure drop ( $\Delta P$ ) akan meningkat seiring dengan plat menurunnya ketebalan orifice peningkatan rasio area  $(\sigma)$ orifice akan menyebabkan menurunnya nilai pressure drop suatu aliran yang melintasi orifice.

Pelat orifice atau alat pengkondisian aliran sengaja dibuat untuk memiliki perbedaan tekanan pada daerah upstream dan downstream seperti yang disebutkan pada sub bab sebelumnya. Pelat orifice banyak digunakan di industri proses. 80% dari industri proses menggunakan pelat orifice sebagai flow meter (Miller, 1996 dikutip: Leopard, 2017). Hal ini dikarenakan keunggulannya yang sangat banyak yaitu: ekonomis, perawatan mudah, dan compact. Sedangkan untuk kelemahan pelat orifice adalah kurangnya presisi pada pengukuran, kapasitas limit dan permanent pressure loss yang cukup besar. Pelat orifice memiliki nilai ekonomis karena bentuknya yang sederhana. Pelat orifice memiliki bentuk lingkaran tipis yang ditengahnya terdapat lubang kecil. Geometri dari pelat orifice sudah memiliki standar yang tertulis pada ISO 5167-2(2013) dan dapat dilihat pada gambar 2.2. Konstruksi pelat orifice dipasang diantara dua flange bersama sealing agar tidak ada kebocoran. Mengacu pada standar ISO 5167-2(2013) dan Gambar 1 , terdapat beberapa hal yang sudah ditentukan dan ditetapkan parameter-parameter geometri pada pelat orifice sebagai berikut:

- a. 1 merupakan sisi *upstream*.
- b. 2 merupakan sisi downstream.
- Ketebalan e berkisar antara 0.005D sampai 0.02D.
- d. Ketebalan *E* berkisar antara *e* sampai 0.5D, tetapi pada range 50 mm  $\leq$  D  $\leq$  64 mm dapat mencapai 3.2mm.
- e. Sudut *bevel*  $\alpha$  memiliki nilai  $45^{\circ} \pm 15^{\circ}$ .
- f. Diameter rasio  $\beta = d/D$  harus memiliki nilai lebih besar dari 0.1 dan lebih kecil atau sama dengan 0.75.



Gambar 1. Geometri Pelat *Orifice* Sesuai *Standar InternationalOrganization For Standardization* (ISO, 2003)

Bilangan *Reynolds* menjadi parameter penting dalam karakteristik nilai *discharge coefficient* ( $C_d$ ) secara matematis didefinisikan sebagai berikut.

secara matematis didefinisikan sebagai berikut. 
$$Re = \frac{\rho VD}{\mu}.....$$

Dengan:

Re = Bilangan Reynolds

 $\rho$  = Densitas fluida ( $kg/m^3$ )

V =Kecepatan aliran fluida (m/s)

D = Diameter pipa (m)

 $\mu$  = Viskositas dinamis fluida (kg/m.s)

Miller (1976) menggunaan persamaan sebagai berikut dalam menentukan nilai *permanent pressure loss*:

permanent pressure loss maximum pressure drop (%) = 
$$(1 - 0.24 \,\beta - 0.52 \,\beta^2 - 0.16 \,\beta^3) \times 100\%$$

Nilai discharge coefficient (Cd) dapat dihitung secara analitis. The American Society of Mechanical Engineers (ASME) merekomendasi menggunakan persamaan curve-it yang dikembangkan oleh ISO (White, 2011). Persamaan tersebut dapat digunakan untuk validasi sehingga dituliskan sebagai berikut:

$$Cd = f(\beta) + 91.71\beta^{2.5}Re_D^{-0.75} + \frac{0.09\beta^4}{1 - \beta^4}F_1$$
$$- 0.0337 \beta^3 F_2$$

 $f(\beta)=0.5959+0.0312\beta^{2.1}-0.184\beta^{8}$ Korelasi faktor  $F_1$  dan  $F_2$  pada posisi *pressure tap* 

- *Corner taps:*  $F_1 = 0$ ;  $F_2 = 2$
- D;1/2D taps:  $F_1 = 0.4333$ ;  $F_2 = 0.47$
- Flange taps.

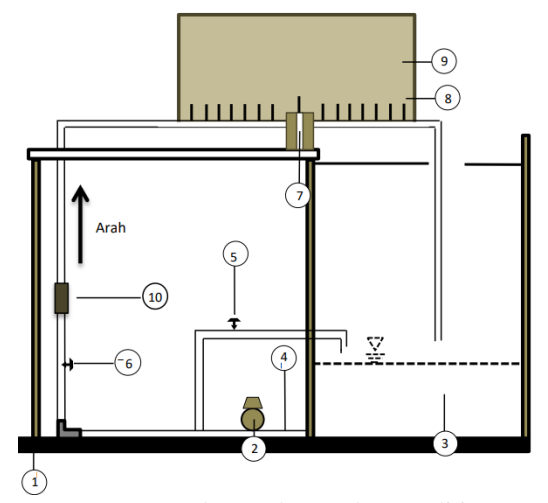
$$F_1 = \frac{1}{D(in)}; F_2 = \begin{cases} \frac{1}{D(in)}; D > 2.3 \text{ in} \\ 0.4333; 2.0 \le D \le 2.3 \text{ in} \end{cases}$$

Sebagai Referensi pada daerah *centerline* pressure dan D;0,5D menggunakan persamaan sebagai berikut :

$$Cd = \frac{Q\sqrt{1-\beta^4}}{A_0\sqrt{2 \cdot \frac{\Delta P_{max}}{\rho}}}$$

#### 3. METODOLOGI PENELITIAN

Penelitian dan pengujian *orifice meter* ini menggunakan bahan fluida air dengan massa jenis 996 kg/m³ dan peralatan sebagai berikut:

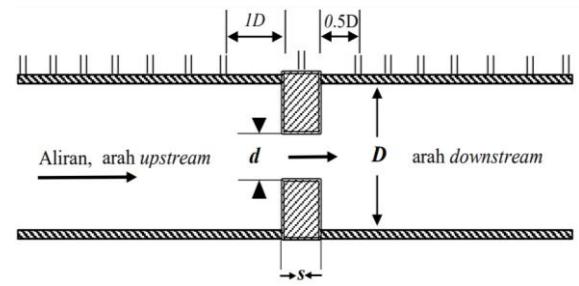


Gambar 2 Skema alat penelitian

#### **Keterangan Gambar 2:**

- 1. Meja atau kerangka penopang peralatan
- 2. Pompa
- 3. Bak air utama
- 4. Pipa hisap pompa (suction line)
- 5. Katup pada pipa by pass (by pass line)
- 6. Katup pada pipa alir (discharge line)
- 7. Plat orifice
- 8. Tap untuk pengukuran tekanan (pressuretap)
- 9. Papan manometer (manometer board)
- 10. Flow meter

Gambar 3 menunjukkan bagian uji *orifice* plate secara skematik



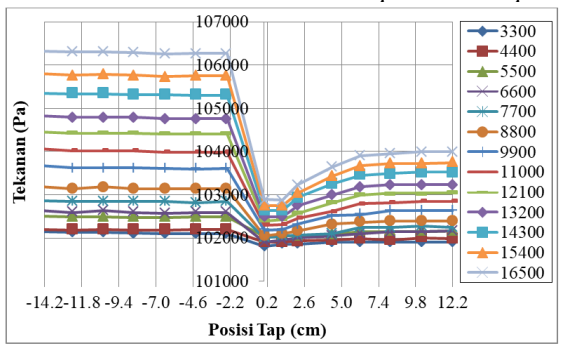
Gambar 3 Skema uji orifice plate

#### 4. HASIL DAN PEMBAHASAN

#### 4.1 Distribusi Tekanan

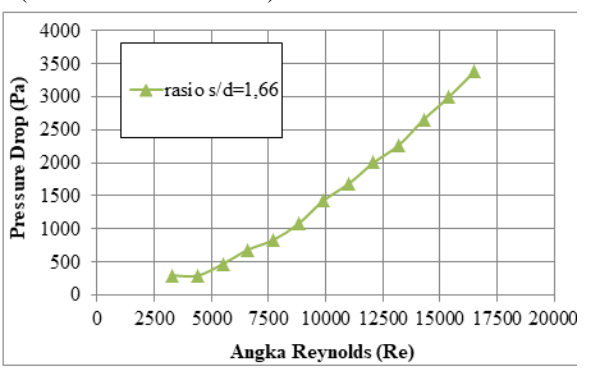
Kurva pada Gambar 4 menggambarkan distribusi tekanan pada arah *upstream* dan downsteam menunjukkan bahwa saat aliran fluida akan melewati plat orifice, tekanan aliran berangsur-angsur mengalami penurunan sehingga kecepatan aliran akan bertambah akibat fluida yang dipaksa bergerak menuju pelat orifice. Kecepatan aliran fluida mencapai maksimum mengakibatkan tekanan minimum yang terjadi pada vena contracta, hal ini sesuai prinsip persamaan Bernoulli. Kemudian tekanan berangsur-angsur meningkat setelah menjauhi vena contracta yang disebut daerah reattachment point. Peningkatan tekanan pada daerah reattachment point sebanding dengan penurunan kecepatan fluida, seperti yang diungkap Leopard (2017). Kemudian pada titik tertentu tekanan akan mengalami pemulihan

kembali, yang disebut *recovery point*. Namun tekanan pada daerah *recovery point* tersebut tidak sepenuhnya dipulihkan seperti tekanan pada daerah *upstream*. Fenomena itu disebut *irrecoverable pressure drop*.



**Gambar 4** Grafik distribusi tekanan *upstream* dan *downstream* melintasi *orifice flow meter* dengan rasio tebal pelat (s/d) 1.66

Hasil pengukuran tekanan mengungkapkan pula bahwa kenaikan tekanan yang terjadi pada reattachment point tidak sama besarnya dengan tekanan pada daerah upstream, hal ini disebabkan oleh separasi aliran berupa vortex sehingga aliran cenderung berbalik, semakin jauh terbentuknya vortex maka semakin besar tekanan pada recovery point. Jauhnya zona vortex dipengaruhi oleh rasio tebal pelat orifice. Namun tekanan tidak sepenuhnya kembali seperti tekanan pada upstream. Pressure tap yang paling jauh (6D) dan pressure tap yang paling dekat (D) dari pelat orifice, pada bilangan Reynolds 16500 berturutturut pada rasio tebal pelat orifice (s/d)=1.66 untuk upstream (106328 Pa-106269 Pa), downstream (103992 Pa-102879 Pa).



**Gambar 5** Kurva *maximum pressure drop* pada variasi rasio tebal pelat *orifice* (s/d) = 1.66 pada bilangan *Reynolds* (Re) 3300-16500

Gambar 5 menunjukkan bahwa titik separasi aliran dan posisi *vena contracta* akan berbeda walaupun dalam pengukuran ini sulit diamati dengan cermat. *Pressure drop* dan *irrecoverable pressure drop* yang melewati *orifice* sangat dipengaruhi oleh rasio tebal pelat *orifice* (s/d).

## 4.2 Permanent Pressure Loss

Peletakan pressure tap yang optimal berada pada vena contracta untuk mendapatkan nilai pengukuran yang tepat. Profil kecepatan fluida kembali seperti semula saat streamline fluida yang terseparasi kembali bertemu dengan dinding pipa atau yang sering disebut dengan reattachment point, Leopard (2017). Pada reattachment point, bentuk profil kecepatan belumkembali seperti ketika di posisi upstream dan tekanan aliran belum sepenuhnya pulih (mencapai recovery) Leopard (2017). Aliran akan

mencapai kondisi tersebut pada jarak tertentu (recovery point) setelah melewati reattachment point.

Tekanan aliran juga pulih pada reattachment point. Akan tetapi tekanan aliran tidak sepenuhnya dipulihkan seperti yang telah diuraikan sebelumnya. Selisih nilai tekanan tersebut sering disebut permanent pressure loss. Posisi vena contracta dan reattachment point merupakan keterkaitan dari rasio tebal pelat orifice (s/d) dan bilangan Reynolds. Bilangan Reynolds dapat juga mempengaruhi letak vena contracta dan reattachment point (Leopard, 2017). Hasil pengukuran tekanan arah downstream menghasilkan pemulihan tekanan dan reattachment point yang berbeda pada masing-masing rasio tebal pelat (s/d) dan bilangan Reynolds. Persentase permanent pressure loss pada daerah centerline pada rasio tebal (s/d) 1.66 menunjukkan 72.71% yang divalidasi dengan Miller (1996) dan menunjjukan hasil persentase 71.0%. Dengan itu dapat diketahui bahwa semakin tinggi rasio tebal pelat orifice maka semakin kecil nilai permanent pressure loss dari aliran fluida. Walaupun reattachment point.yang dihasilkan Leopard (2017) dengan menggunakan software memiliki .presisi yang tepat, bila dibandingkan dengan hasil memiliki penelitian ini, tetapi kesesuaian karakteristik yang kuat.

Tabel 1 Perhitungan nilai permanent pressure loss dengan referensi centerline pressure dan wall pressure untuk rasio tebal pelat orifice (s/d) 1.66

(S/U) 1.00				
		Permanent Pressure Loss		
		(%)		
Re	β	Centerline	Wall	Miller
	·	s/d		(1996)
		1.66	1.66	(1990)
3300	0.5	66.89	33.43	
4400		83.28	36.91	
5500		72.71	40.90	71.0
6600		65.64	54.71	
7700		70.60	63.13	
8800		68.19	68.20	
9900		67.81	73.31	
11000		69.78	78.98	·
12100		68.30	80.01	
13200		67.67	80.51	
14300		67.64	82.52	
15400		67.76	84.88	
16500		68.50	88.12	

## 4.3 Discharge Coefficient

Perhitungan discharge coefficient (Cd) menggunakan centerline pressure dengan maximum pressure drop dan tekanan arah upstream dan downstream masing-masing di titik D dan 0,5D terhadap pelat orifice sebagai tekanan referensi seperti pada Tabel 2.

Tabel 2 Perhitungan nilai Coefficient Discharge (Cd) dengan referensi centerline pressure dan D;0,5D untuk rasio s/d 1,66 pada bilangan Reynolds 3300-16500.

	Coefficient Discharge (Cd)				
Re	Centerline	D;0.5D	ISO 5167-2 (2013)		
	s/d	s/d	(2013)		
	1,66	1,66			
3300	0.558	0.632	0.640		
4400	0.744	0.769	0.633		
5500	0.735	0.785	0.628		
6600	0.731	0.783	0.625		
7700	0.774	0.824	0.623		
8800	0.777	0.822	0.621		
9900	0.759	0.789	0.619		
11000	0.777	0.805	0.618		
12100	0.783	0.813	0.617		
13200	0.803	0.828	0.616		
14300	0.803	0.830	0.615		
15400	0.814	0.840	0.615		
16500	0.822	0.848	0.614		

Berdasarkan Tabel 2 kenaikan bilangan *Reynolds* yang divalidasi dengan hasil persamaan ISO 5167-2 (2013) menunjukkan bahwa nilai *discharge coefficient (Cd)* pada rasio pelat *orifice* s/d = 1,66 diperoleh Cd rata-rata untuk referensi D;0,5D = 0,797 untuk referensi *centerline* = 0,760.

#### DAFTAR PUSTAKA

Andrew, W., & Williams. (1979). Applied Instrumentation in the Process Industries. *Gulf Publishing Co. Volume I, Edisi ke-2*, 46-54.

Bohra, L. K. (2004). Flow And Pressure Drop Of Highly Viscous Fluids In Small Aperture Orifices. *Georgia Institute of Technology*, 62-63.

Chisholm, D. (1985). Two-Phase Flow in Heat Exchangers and Pipelines. *Glasgow College of Technology*, 48-57.

Hollingshead, C. L. (2011). Discharge Coefficient Performance of Venturi, Standard Concentric Orifice Plate, V-Cone, and Wedge Flow Meters at Small Reynolds Numbers. Utah: Utah State University.

Leopard, R. (2017). Studi Numerik Performa Square Edge Dan Quadrant Edge Orifice Flow Meter Denganvariasi Rasio Diameter. Surabaya: Institut Teknologi Sepuluh Nopember.

M A, P., Dr. V, S., & Yogesh, K. (2016). Analysis of Compressible Effect in the Flow Metering By Orifice Plate Using CFD. *IJSRSET162420*, 170-180.

Sanghani, C. R. (2016). Comparative Analysis of Different Orifice Geometries for Pressure Drop. *IJSTE - International Journal of Science Technology & Engineering, Volume 2,Issue 10*, 494-498.

Septiadi, W. N. (2008). Studi Eksperimental Orifice Flow Meter dengan Variasi Tebal dan Posisi Pengukuran Beda Tekanan Aliran Melintasi Orifice Plate. *Jurnal Ilmiah Teknik Mesin CAKRAM Vol.2 No. 1*, 61-68. Singh, R. K., Singh, S. N., & Seshadri, V. (2010).

Perrformance Evaluation of Orifice Plate
Assemblies Under Non-Standard Conditions
using CFD. *Indian Journal of Engineering*& Material Sciences Vol 17, 397-406